

(HUANJING KEXUE)

## ENVIRONMENTAL SCIENCE

第34卷 第8期

Vol.34 No.8

2013

中国科学院生态环境研究中心 主办



### 新 施 静 享 (HUANJING KEXUE)

#### ENVIRONMENTAL SCIENCE

第34卷 第8期 2013年8月15日

#### 目 次

```
2006~2009年我国超大城市霾天气特征及影响因子分析………… 戴永立, 陶俊, 林泽健, 谢绍东, 曹军骥, 张仁健(2925)
固相微萃取和固相萃取评价多环芳烃降解过程中的生物有效性变化 郭美霞, 巩宗强, 李晓军, 刘丹, 王悦(3244) 改良型固定化 Pseudomonas oleovorans DT4 降解四氢呋喃的研究 邵钱, 叶杰旭, 欧阳杜娟, 陈建孟, 陈东之(3251) PCR-DGGE 技术解析固体碳源表面生物膜的微生物群落结构 徐影, 仇天雷, 韩梅琳, 李军, 王旭明(3257) 温度对嗜酸性硫杆菌活性和生物成因次生铁矿物形成的影响 宋永伟, 赵博文, 霍敏波, 崔春红, 周立祥(3264) 小白菜对外源硒酸盐和亚硒酸盐动态吸收的差异及其机制研究 郭璐, 满楠, 梁东丽, 谢钧宇, 刘娟娟(3272) 预处理对打捆麦秸贮存和厌氧生物产沼气的影响 马慧娟, 陈广银, 杜静, 常志州, 叶小梅(3280) 硝酸盐对淡水水生生物毒性及水质基准推导 张铃松, 王业耀, 孟凡生, 周岳溪, 于海斌(3286) 杜勒毒性测试微孔板 MTOXPlate 的分析性能研究 林奕云, 张国霞, 贺丽苹, 孙国萍, 许玖英(3294) 亚洲香, 霍烟莉, 安静, 尚明, 如玉芝, 唐佳, 文章(3203)
《环境科学》征稿简则(2967) 《环境科学》征订启事(3034) 信息(3063,3136,3194,3302)
```

### 污灌渠中有机氯农药对沿渠土壤的影响

徐亮,张彩香\*,刘敏,廖小平,姚林林,李佳乐,向青清

(中国地质大学(武汉)生物地质与环境地质国家重点实验室,武汉 430074)

摘要:为了研究污水灌渠侧渗对土壤的影响,采用气相色谱-电子捕获检测器(GC-ECD)方法对太原市小店污灌区 9 个剖面土和 2 个灌溉污水样进行有机氯化合物(OCPs)分析. 结果表明退水渠中有机氯农药主要由六六六(HCHs)组成,滴滴涕(DDTs)及其它有机氯农药含量较低或未检出,在 8 个离渠较近剖面的地表土中  $\sum$  OCPs 和 HCHs 含量一定程度上符合随垂直于渠的直线距离增加而逐步降低的趋势,表明污水渠侧渗对土壤存在着一定影响. 8 个剖面土壤中的 HCHs 含量随着深度的增加而降低,在水平方向上,同一深度土壤中的 HCHs 含量也沿远离渠的直线方向逐步递减. 研究区土壤中 HCHs 含量与TOC 之间存在较为显著的正相关性,而与 pH 之间不存在相关性.

关键词:污水渗漏:有机氯农药:剖面土:垂直特征:水平特征

中图分类号: X53 文献标识码: A 文章编号: 0250-3301(2013)08-3211-05

# Influence of Organochlorine Pesticides in Wastewater on the Soil Along the Channel

XU Liang, ZHANG Cai-xiang, LIU Min, LIAO Xiao-ping, YAO Lin-lin, LI Jia-le, XIANG Qing-qing (State Key Laboratory of Biogeology and Environmental Geology, China University of Geoscience, Wuhan 430074, China)

Abstract: Nine profile soil samples and two sewage water samples were collected from Xiaodian sewage irrigation area in Taiyuan city, concentrations of organochlorine pesticides (OCPs) were determined by the gas chromatography coupled with electron capture detector (GC-ECD) to analyze the influence of the leakage of sewage water. The result shows that OCPs in sewage water were mainly composed of HCHs. Concentrations of DDTs and other organochlorine pesticides were very low or out of the detection limit. Concentrations of DCPs and HCHs in eight profiles near irrigation channels to some extend decreased with the increasing of the linear distance off the channel, which shows influences of the leakage of sewage water on the soil nearby. Concentrations of HCHs clearly decreased with the increasing of soil depth in most profile soils. For the horizontal direction, concentrations of HCHs also decreased with the increasing of the linear distance off the channel. The correlation between HCHs and TOC was positive, but no correlation between pH and HCHs was found.

Key words: sewage leakage; organochlorine pesticides; profile soil; vertical characteristics; horizontal characteristics

污水灌溉一直是解决农业用水问题的主要途径,近年来,国内外学者对污水灌溉的利弊进行了大量研究,研究表明污水灌溉能充分利用水中的营养物质使农作物增产,但水中的重金属、难降解有机物等也可能对污灌区的土壤和地下水造成污染<sup>[1~5]</sup>.太原市小店区位于市区东南部,由于水资源缺乏,该地区一直采用污水灌溉解决用水问题,至今已有50多年历史.长期的污水灌溉已导致该区域土壤质量下降,重金属和一些难降解有机污染物在土壤中富集<sup>[6~10]</sup>,但迄今关于污灌渠污水侧向渗漏是否对土壤产生影响的研究还未涉及.

有机氯农药(OCPs)是一种理化性质稳定、持久性和生物富集性很强的有机污染物,其在环境中难以自然降解,并能通过迁移和食物链传递等多种途径对生态系统和人类健康造成危害[11-14].由于其难降解性和危害性,它们在土壤等环境介质中的

存留问题一直是各国科学家的研究重点<sup>[15~18]</sup>.本研究以太原市小店污灌区为对象,在该灌区及国内外已有研究的基础上,调查分析污灌渠中污水和沿渠土壤剖面中的有机氯残留,以了解污灌渠对沿渠土壤的影响.

#### 1 材料与方法

#### 1.1 样品采集

小店区的污灌渠主要有东干渠、北张退水渠和 太榆退水渠这3条.为了了解灌渠污水侧向渗漏对 土壤中有机氯含量的影响,依据污水灌渠的走向,研 究组于2011年8月在该区域采取9个剖面土系列

收稿日期: 2012-11-02; 修订日期: 2012-12-18

基金项目: 国家自然科学基金项目(40972156)

作者简介:徐亮(1988~),男,硕士研究生,主要研究方向为有机污染物环境化学,E-mail;270577253xl@ gmail.com

<sup>\*</sup> 通讯联系人, E-mail: Caixiangzhang@ yahoo. com

(不同系列编号为 GS01~08 及 WS11-1)和剖面土 附近渠内水样两个(编号为 SW11-05 及 SW11-07) (图1). 其中 GS01~04 位于北张和太榆退水渠之 间的流涧地区,主要分布在渠边的农田内,分别离渠 2、7、16、35 m. GS05~08 位于北张和太榆退水渠 交汇点下游的侯家堡地区,样点位于渠边空地,分别 离渠1、7、15、26 m. 两地区均采取污水灌溉,最后 结果进行对比验证. WS11-1 采取于清水灌溉地区, 作为研究背景点. 剖面土样用洛阳铲采集约1~2 m,每隔10 cm 采样一次,每个系列再进行编号(如 GS01-01~GS01-08等),每层土样去除混合层浮土 取中间土样装入事先洗净并烘干的铝盒中,铝盒用 封口膜密封. 水样用采样桶采集渠中间地带流动 水,现场测定 pH 和电导率后装入塑料采样瓶中,同 样用封口膜密封. 以上样品均被及时送往实验室, 放入冰箱 -4℃保存,一周内进行处理分析.

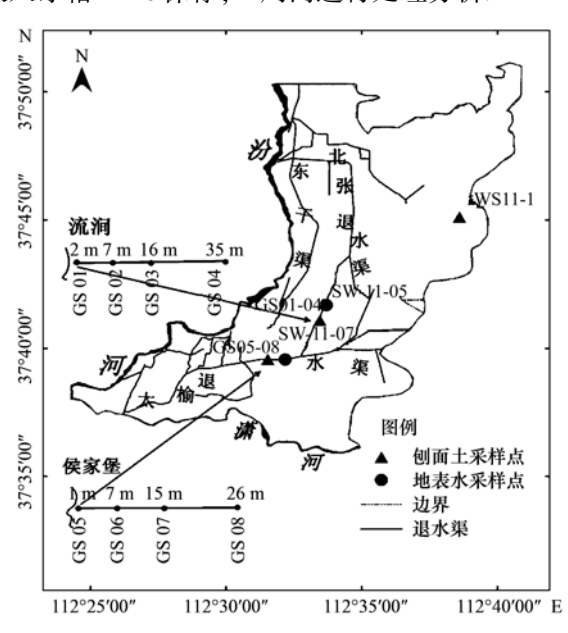


图 1 研究区采样点分布示意

Fig. 1 Map of the sampling sites in study area

#### 1.2 样品预处理

土样预处理方法主要为索氏抽提和浓缩,详细步骤参考文献[19]. 简述为:土样经自然风干后研磨过200目筛,准确称取10g样品后加入回收率指示剂2,4,5,6-四氯间二甲苯(TCMX)和十氯联苯(PCB209),经索氏抽提后上旋转蒸发仪浓缩,后经过硅胶/氧化铝(体积比2:1)层析柱净化,加内标五氯硝基苯(PCNB)后保存.

水样预处理方法:准确量取 500 mL 水样加入 1 L 的分液漏斗中,迅速加入回收率指示剂后经液液萃取进行浓缩,然后过层析柱净化,吹氮后加标保

存. 详细步骤见文献[20].

#### 1.3 主要试剂及分析仪器

主要试剂包括:机氯农药标准物质由24种有机 氯农药 (α-HCH、 $\beta$ -HCH、 $\gamma$ -HCH、 $\delta$ -HCH、o, p'-DDE p, p'-DDE o, p'-DDD p, p'-DDD o, p'-DDT o, p'-DDT p, p'-DDT,  $\alpha$ -endosulfan,  $\beta$ -endosulfan, endosufansulfate, trans-chlordan, cis-chlordan, hexachlorobenzene aldrin endri 、 dieldrin heptachlor, heptachlor-epoxide, trans-nonchlor, cis-nonchlor, methoxychlor)组成的混标;回收率指示剂为 TCMX 和 PCB209; 内标化合物为 PCNB; 以上试剂均购自 美国 Ultra Scientific 公司. 硅胶(青岛海洋化工厂分 厂,分析纯);氧化铝(国药集团化学试剂有限公司, 分析纯);无水硫酸钠(天津市福晨化学试剂厂,分 析纯); 氮气(武钢氧气气瓶检验厂,99.99%); 二 氯甲烷、正己烷、丙酮(美国TEDIA公司,农残级).

主要分析仪器: 气相色谱-电子捕获器 (GC-ECD, Agilent HP6890, USA). 色谱柱为 DB-5 石英毛细管柱(30 m × 0.32mm × 0.25  $\mu$ m); Liqui TOC总有机碳分析仪(德国 Elementar 公司); Sension-2型 pH 计(美国 Hach 公司); Rotavapor R-210型旋转蒸发仪(瑞士 Buchi 公司); EFCG-11155-DA型12管氮吹仪(干浴,美国 Thermo 公司). 冷却循环水机(美国 Organ-omation 公司).

#### 1.4 质量保证与质量控制(QA/QC)

目标化合物采用内标法定量,采用质量浓度分别为10、20、50、100 μg·L<sup>-1</sup>的混标系列建立标准曲线,每种物质的相关系数均大于0.99,依据信噪比(S/N)为3,土样 OCPs 的检出限为0.001~0.005 ng·g<sup>-1</sup>,水样检出限为0.005~0.01 ng·L<sup>-1</sup>.样品中TCMX 回收率平均值为69%,PCB 209 回收率平均值为76%,每天做一个方法空白,以检验分析过程中可能引起的污染,结果表明空白样中没有检测到目标化合物;用 Agilent 色谱工作站处理样品数据时,每天的数据均通过分析有机氯农药标准物质(100 μg·L<sup>-1</sup>)进行仪器日校正,所以样品都经过回收率校正和仪器校正.

#### 2 结果与讨论

#### 2.1 污水及地表土中有机氯农药含量及组成

表 1 为 9 个剖面土的表层土壤  $(0 \sim 10 \text{ cm})$  和邻 近污水渠中的有机氯农药含量. 两个水样中有机氯 农药含量分别为 825.6  $\text{ng} \cdot \text{L}^{-1}$ 和 450.22  $\text{ng} \cdot \text{L}^{-1}$ ,退 水渠中的有机氯药基本由六六六 (HCHs) 组成,分

别占到总含量的 95. 7% 和 97. 6%,其它物质含量极低或未检测出.污灌区 8 个表层土壤中大部分有机氯农药均被检出,含量范围为 3. 71~61. 27 ng·g<sup>-1</sup>,平均值为 21. 48 ng·g<sup>-1</sup>其主要由 HCHs、DDTs 和methoxychlor组成.背景点武宿地区采用清水进行灌溉,其表层土中 OCPs 含量为 31. 82 ng·g<sup>-1</sup>高于大部分污灌区表层土中的 OCPs,其组成中 DDTs 含量高达 20. 02 ng·g<sup>-1</sup>,占到总量的 62. 9%.可能与该地区种植蔬菜大量使用滴滴涕农药有关<sup>[21]</sup>.两个污灌区中 \(\sum\_OCPs\)和 HCHs 值在最靠近渠的 GS01

和 GS05 剖面表层土中最大,而离渠较远的点其对应值值则相对小很多,两条研究直线上  $\sum$  OCPs 和 HCHs 值大致上符合随距离增加而逐步降低的趋势.考虑到同一研究区的土壤质地基本相同,污水灌溉采用漫灌的方式,化肥的使用、作物的吸收和土壤矿物对各个采样点之间  $\sum$  OCPs 和 HCHs 含量的差异没有影响.由于两地的污水灌渠大部分未进行防渗处理可以推断研究区地表土中  $\sum$  OCPs 在平面上的差异主要由于污水灌渠的侧向渗漏引起的.

表 1 污灌区表层土及污水中有机氯含量1)

Table 1	Concentration of	organochlorine	pesticides in	topsoils of	sampling	sites and	in sewage water
---------	------------------	----------------	---------------	-------------	----------	-----------	-----------------

有机氯农药	SW11-05 <sup>a</sup>	GS01 <sup>b</sup>	GS02 <sup>b</sup>	GS03 <sup>b</sup>	GS04 <sup>b</sup>	SW11-07°	$GS05^{d}$	$GS06^{d}$	$GS07^{d}$	$GS08^{d}$	WS11-1 <sup>e</sup>
HCHs <sup>2)</sup>	790. 82	6.60	2. 34	2. 80	1.50	439. 54	36. 89	0. 82	3. 34	6. 10	4. 33
$\mathrm{DDTs}^{3)}$	2. 31	6.94	3.56	3. 24	3.02	3.44	12.61	0.82	3. 14	3.65	20.02
endosulfans <sup>4)</sup>	2. 85	0.67	1.45	1.02	0.44	3.31	1.01	0.36	0.30	0.37	0.47
HCB	2. 03	2.30	0.59	0.35	0.51	2.65	2. 96	0.21	0.52	0.83	0.79
heptachlor	0.85	N. D. <sup>5)</sup>	0.64	0.06	0.04	0. 26	0.31	0.01	0.13	0.04	0.02
Aldrin	19. 33	5.54	3.97	2. 26	2. 17	N. D	1.01	0.10	1.90	0. 24	1.87
heptachlor-epoxide	5.37	N. D.	N. D.	0.35	0.64	N. D.	0.55	0. 25	N. D.	N. D.	N. D.
trans-chlordane	N. D.	N. D.	N. D.	N. D.	0.06	N. D.	N. D.	N. D.	N. D.	N. D.	N. D.
cis-chlordane	1.31	N. D.	N. D.	N. D.	0.16	N. D.	0.74	N. D.	N. D.	N. D.	N. D.
non-TC	N. D.	N. D.	0.14	0.03	0.06	N. D.	0.16	N. D.	0.06	0.06	N. D.
dieldrin	N. D.	N. D.	N. D.	N. D.	N. D.	N. D.	N. D.	N. D.	N. D.	N. D.	N. D.
endrin	N. D.	0.68	0.74	0.32	0.05	N. D.	0.05	0.43	1.78	0.02	N. D.
non-CC	N. D.	N. D.	N. D.	N. D.	N. D.	1.05	0.14	N. D.	0.08	0. 23	N. D.
methoxychlor	0.72	5. 88	3. 21	4. 23	4.98	N. D.	4. 85	0.71	5. 87	4. 64	4. 33
∑ OCPs	825. 60	28. 61	16. 63	14. 67	13. 63	450. 22	61. 27	3.71	17. 13	16. 18	31. 82

1)a:流涧污灌区水样,b:流涧污灌区土样,c:侯家堡污灌区水样,d:侯家堡污灌区土样,e:武宿背景点土样;土壤单位:ng·g<sup>-1</sup>,水样单位:ng·L<sup>-1</sup>; 2)HCHs = α-HCH + β-HCH + γ-HCH + δ-HCH; 3)DDTs = σ, p'-DDE + p, p'-DDE + σ, p'-DDD + p, p'-DDD + σ, p'-DDT + p, p'-DDT; 4)endosulfans = α-endosulfan + β-endosulfan + endosufan-sulfate; 5) N. D. = Not Detection

#### 2.2 沿渠土壤中 HCHs 的垂直及水平变化特征

#### 2.2.1 HCHs 在土层中的垂直变化特征

图 2 为两个研究区中 HCHs 随深度的增加的变化趋势. GS01~04 系列的 4 个剖面中 HCHs 的含量基本随着深度的增加而逐渐降低,表明 HCHs 在渗入土壤中后在垂直向下的过程中逐渐被土壤吸附或降解<sup>[22,23]</sup>.整个系列剖面中 HCHs 的含量在 0~50 cm 的土层中逐步降低的幅度较大,而在 50 cm 深度以下变化幅度则明显减小. GS04 剖面中 HCHs 含量先降低后在第 3 个层位(25 cm)达到最大,然后再逐步降低,可能与该采样点位于农田中,浅层土壤在频繁的耕作过程中发生相互混合有关. GS05~08系列相对于前一个研究区情况较为复杂,但总体上仍呈逐渐降低的趋势. GS05 在表层土中(5 cm)含量相对其他数值明显较大,可能与该点离渠最近(1 m)在丰水期被污水长期淹没有关. GS08 剖面中HCHS 的含量变化最为复杂,在 0~45 cm 的层位中

出现反复变化,在35 cm 处到达最大值.由于该点位于农田边一条已经废弃的引水渠中,可能是在以前的使用过程中污水中大量的 HCHs 在25~35 cm 处被富集而未被及时吸附和降解<sup>[24]</sup>,表层土壤(5~15 cm)中的 HCHs 较低可能是该渠废弃后其中的残留 HCHs 被表层土壤中大量的微生物所降解或挥发.清灌区武宿剖面中 HCHs 在浅层土壤中(5~35 cm)含量要高于同深度部分剖面,而在较深层土壤中含量已降至很低,基本上低于大部分剖面或持平.可能是由于表层土壤中受到含 HCHs 农药的污染.

#### 2.2.2 HCHs 垂直于渠的水平变化特征

图 3 中 GS01 ~ 04 和 GS05 ~ 08 均为垂直于污水渠的一条直线上的不同距离样点. 从中可以看出在流涧研究区大部分土壤层位中 HCHs 随着离渠距离的增加存在一定程度上的减小趋势. 在表层土壤中(5 cm)这种趋势尤为明显,而随着土壤层位深度的增加,这种趋势变得不十分明显,可能是土壤的

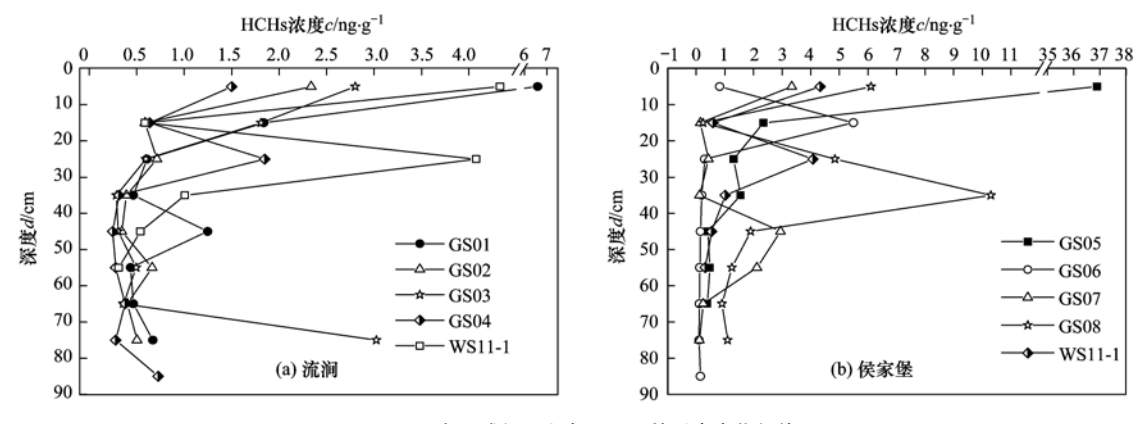


图 2 研究区域剖面土中 HCHs 的垂直变化规律

Fig. 2 Vertical changes of HCHs in the profile soils from sampling sites

吸附作用和微生物降解使得 HCHs 在深层土壤中的含量达到很低,使之变化的幅度很小. 在 GS03 和 GS04 采样剖面处部分层位土中的 HCHs 含量出现大幅度增加,且以浅层土位居多,可能与这两个采样点位于农田中,受含 HCHs 农药和频繁耕作的影响有关. 在侯家堡污灌区情况则更为复杂,在前两个剖面中沿距离递减的趋势较为明显,而后两个剖面中则出现部分逐步递增或先增后减的趋势. 由于

GS08 采样点位于一条废弃的灌溉沟中曾长期受污水浸泡,水中的 HCHs 不断向土壤迁移,使得 GS08 的部分层位中 HCHs 的值比其它 3 点都要高,同时由于高程差的原因使得较低点的 GS07 中部分层位 HCHs 含量也处于较高值.

#### 2.2.3 HCHs 含量变化与土壤理化性质的关系

图 4 为部分样品土壤中 HCHs 的含量与 pH 以及 TOC 的对比,通过 SPSS 进行相关性分析得到

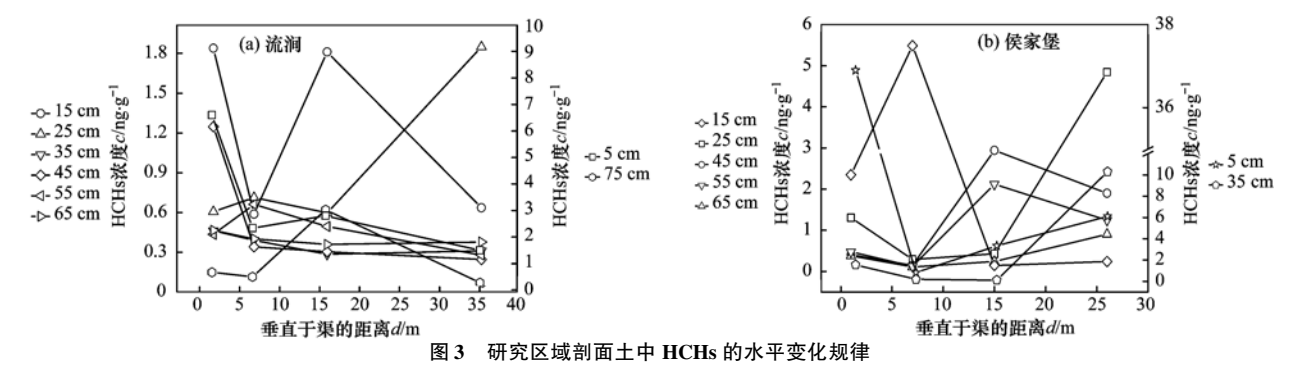


Fig. 3 Horizontal changes of HCHs in the profile soils from sampling sites

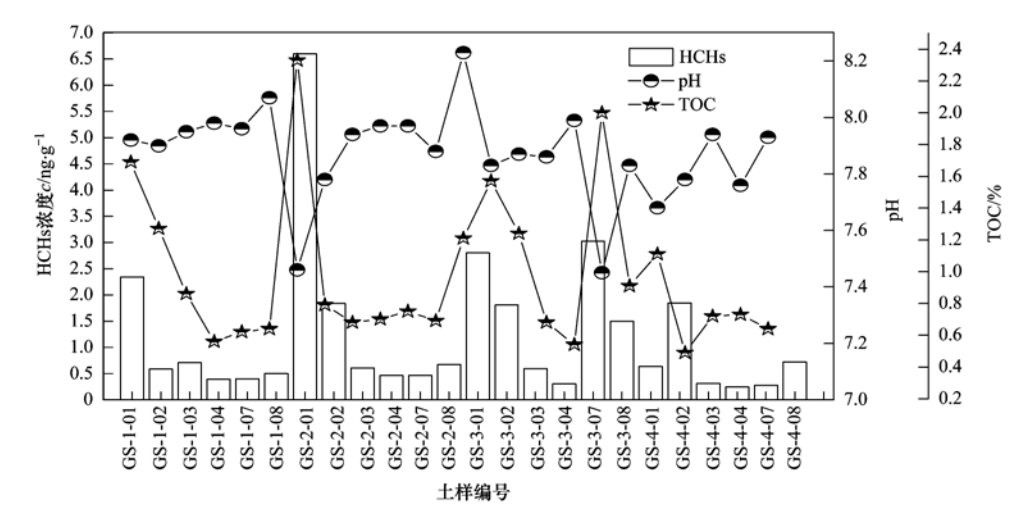


图 4 研究区域部分土壤中 HCHs 含量与土壤理化性质的关系

Fig. 4 Relationship between HCHs content and soil physicochemical properties in soils of the study area

HCHs 与 TOC 之间存在显著的正相关性(r = 0.691, P = 0.001),与已有研究结论保持一致<sup>[25,26]</sup>. 而与pH 之间不存在相关性(r = -0.386, P = 0.310).

#### 3 结论

- (1)退水渠中有机氯农药主要由 HCHs 组成,表层土壤中有机氯农药主要由 HCHs、DDTs 和 methoxychlor 组成. 表层土壤中  $\sum$  OCPs 和 HCHs 值大体符合随垂直于渠距离增加而逐步降低的趋势,表明污水中的 HCHs 向土壤中发生了一定的侧渗.
- (2)8 个沿渠剖面中大部分剖面 HCHs 的含量随着深度的增加而逐渐降低,且在 0~50 cm 土层范围内变化幅度较大.
- (3)在垂直于渠的直线上,大部分相同层位的 土壤中 HCHs 含量沿远离渠的方向逐步递减. 表明 污水渠对沿渠土壤同一层位土壤中 HCHs 含量存在 着一定影响.
- (4)研究区土壤中 HCHs 含量与 TOC 之间存在 显著的正相关性,而与 pH 不存在相关性.
- (5)由于沿渠土壤已一定程度上受到污水侧渗的影响,建议对小店区3条主灌渠进行必要的防渗处理.

#### 参考文献:

- [1] Qadir M, Wichelns D, Raschid-Sally L, et al. The challenges of wastewater irrigation in developing countries [J]. Agricultural Water Management, 2010, 97(4): 561-568.
- [2] Asano T, Levine A D. Wastewater reclamation, recycling and reuse: past, present, and future [J]. Water Science and Technology, 1996, 33(10-11): 1-14.
- [3] Reboll V, Cerezo M, Roig A, et al. Influence of wastewater vs groundwater on young Citrus trees[J]. Journal of the Science of Food and Agriculture, 2000, 80(10): 1441-1446.
- [4] Kalavrouziotis I K, Robolas P, Koukoulakis P H, et al. Effects of municipal reclaimed wastewater on the macro- and microelements status of soil and of Brassica oleracea var. Italica, and B-oleracea var. Gemmifera [J]. Agricultural Water Management, 2008, 95(4): 419-426.
- [5] 张超品,刘洪禄,吴文勇,等. 再生(污)水灌溉利用研究 [J]. 北京水利,2004,(4):17-19.
- [6] 张乃明,李保国,胡克林.太原污灌区土壤重金属和盐分含量的空间变异特征[J].环境科学学报,2001,21(3):349-353.
- [7] 张乃明, 邢承玉, 贾润山, 等. 太原污灌区土壤重金属污染研究[J]. 农业环境保护, 1996, **15**(1); 21-23.
- [8] 孙强,马腾,祁志冲,等.污水灌溉区包气带中重金属元素空间分布特征——以太原市某污水灌溉区为例[J]. 地质科技情报,2010,29(3):86-90.
- [9] 罗雪梅, 刘昌明, 何孟常. 土壤与沉积物对多环芳烃类有机

- 物的吸附作用[J]. 生态环境, 2004, 13(3): 394-398.
- [10] 杜斌,龚娟,李佳乐.太原市污水灌溉对水土环境的有机污染研究[J].人民长江,2010,41(17):58-61.
- [11] Jones K C, De Voogt P. Persistent organic pollutants (POPs): state of the science [J]. Environmental Pollution, 1999, 100 (1-3): 209-221.
- [12] Wania F, Mackay D. Peer reviewed: tracking the distribution of persistent organic pollutants [J]. Environmental Science and Technology, 1996, 30(9): 390A-396A.
- [13] Li Y F, Macdonald R W. Sources and pathways of selected organochlorine pesticides to the Arctic and the effect of pathway divergence on HCH trends in biota; a review[J]. Science of the Total Environment, 2005, 342(1-3); 87-106.
- [14] Mishra K, Sharma R C, Kumar S. Contamination levels and spatial distribution of organochlorine pesticides in soils from India [J]. Ecotoxicology and Environmental Safety, 2012, 76: 215-225.
- [15] Erkmen B, Kolankaya D. Determination of organochlorine pesticide residues in water, sediment, and fish samples from the Meriç, Delta, Turkey[J]. International Journal of Environmental Analytical Chemistry, 2006, 86(1-2): 161-169.
- [16] Liu G M, Li J, Yin L L, et al. Distribution characteristics of organochlorine pesticides in surface and vertical sediments from the Zha Long Wetland, China [J]. Environmental Science and Pollution Research, 2011, 19(7): 2681-2689.
- [17] Su Y S, Hung H, Blanchard P, et al. A circumpolar perspective of atmospheric organochlorine pesticides (OCPs): Results from six Arctic monitoring stations in 2000-2003 [J]. Atmospheric Environment, 2008, 42(19): 4682-4698.
- [18] Yang D, Qi S H, Zhang J Q, et al. Residues of organochlorine pesticides (OCPs) in agricultural soils of Zhangzhou city, China [J]. Pedosphere, 2012, 22(2): 178-189.
- [19] 廖小平, 张彩香, 赵旭, 等. 太原市污灌区地表土中有机氯 农药分布特征[J]. 环境化学, 2012, **31**(9): 1321-1327.
- [20] 王珺, 祁士华, 穆倩, 等. 小海湾水体有机氯农药的浓度水平和特征[J]. 环境科学与技术, 2007, **30**(8): 33-34, 46.
- [21] Wang X J, Piao X Y, Chen J, et al. Organochlorine pesticides in soil profiles from Tianjin, China[J]. Chemosphere, 2006, 64 (9): 1514-1520.
- [22] 马文洁,何江涛,金爱芳,等. 北京市郊再生水灌区土壤有机氯农药垂向分布特征[J]. 生态环境学报,2010,19(7):1675-1681.
- [23] 朴秀英,王学军,陶澍,等. 有机氯农药在天津耕作土壤剖面中的分布[J]. 环境科学研究,2004,17(2):26-29.
- [24] Weaver T B, Ghadiri H, Hulugalle N R, et al. Organochlorine pesticides in soil under irrigated cotton farming systems in Vertisols of the Namoi Valley, north-western New South Wales, Australia[J]. Chemosphere, 2012, 88(3): 336-343.
- [25] 龚钟明,曹军,李本纲,等. 天津地区土壤中六六六 (HCH)的残留及分布特征[J]. 中国环境科学, 2003, 23(3): 311-314.
- [26] Park J W, Dec J, Kim J E, et al. Dehalogenation of xenobiotics as a consequence of binding to humic materials [J]. Archives of Environmental Contamination and Toxicology, 2000, 38 (4): 405-410.

## **HUANJING KEXUE**

Environmental Science (monthly)

Vol. 34 No. 8 Aug. 15, 2013

### **CONTENTS**

Characteristics of Haze and Its Impact Factors in Four Megacities in China During 2006-2009	
Characteristics of VOCs and Their Photochemical Reactivity in Autumn in Nanjing Northern Suburb	
On-Line Measurement of Water-Soluble Composition of Particulate Matter in Beijing	
Design and Evaluation of an Aerosol Nanoparticle Generation System	
Aerosol Size Distribution of Organic Carbon and Elemental Carbon on the Top of Coke Oven and in the Plant Area	
Effects of Diurnal Warming on Soil N <sub>2</sub> O Emission in Soybean Field	
N <sub>2</sub> O Flux in Winter and Its Affecting Factors Under Different Land Use Patterns	
Prediction of Methane Emission of Paddy Field Based on the Support Vector Regression Model	
Distributional Characteristics of Nutrients in the Sea-surface Microlayer and Subsurface Water of the Bohai and Yellow Sea in Summ	
Effect of Nitrogen and Phosphorus Concentrations on the Adsorption of BDE28 and BDE47 by Prorocentrum donghaiense Dominant I	Population
	WANG Fang, GE Wei, CHAI Chao, et al. (2992)
Hyperspectral Remote Sensing of Chlorophyll a Concentrations in the Lake Taihu, Based on Water Optical Classification	
Bacterioplankton Index of Biotic Integrity (BP-IBI): An Approach for Assessing River Ecosystem Health in Dianchi Watershed	
Estimation of Urban Non-Point Source Pollution Loading and Its Factor Analysis in the Pearl River Delta	
Transported Fluxes of the Riverine Carbon and Seasonal Variation in Pearl River Basin	
Characteristics of Nutrient Loss of Lanlingxi Watershed in the Three Gorges Reservoir Area	
Characteristics of Dissolved Organic Carbon Release Under Inundation from Typical Grass Plants in the Water-Level Fluctuation Zon	
71	
Research on the Influence of Mixing Layer Depth on Algal Growth	
Denitrification Study of Elodea nuttallii-Nitrogen Cycling Bacteria Restoration in Meiliang Bay, Taihu Lake	
Influence of Combined Ecological Floating Bed on Nitrogen and Phosphorus Between Overlying Water and Sediment	
Effects of Biochar Covering on the Release of Pollutants from Sediment	
Temporal-spatial Difference of Ecotoxicity and Heavy Metals Pollution in Shima Catchment, Dongguan	
Evolvement and Pollution of Heavy Metals in Core Sediments from Yamenqi Lake in Lianhuan Lake, China	
Effect of Constructed Wetland on the Purification of Industrial Zone Rainfall Runoff Contaminated with Phenanthrene	
Removal and Accumulation of the Tetracycline Resistance Gene in Vertical Flow Constructed Wetland	
Method for Optimal Sensor Placement in Water Distribution Systems with Nodal Demand Uncertainties	
Formation Process of Nitrogenous Disinfection Byproduct Trichloronitromethane in Drinking Water and Its Influencing Factors	
Removal of Estrogens in Laccase Catalyzed Oxidative Processes	
Study on Electrochemical Degradation of Ceftazidime by Carbon Nanotubes Electrode	
Photochemical Reaction Types of the Azole Fungicide Fluconazole Under UV-vis Irradiation	CF Lin ko LI Koi VANC Koi et al. (2122)
Photocatalytic Degradation Kinetics of Diuron by TiO <sub>2</sub> and Simulated Sunlight	
Adsorption of Congo Red from Aqueous Solution on Hydroxyapatite	
Ethanol-Induced Influence on the Structure and Arsenate Adsorption of Resin-based Nano-hydrated Ferric Oxide	
Chlorination Characteristic and Disinfection By-product Formation Potential of Dissolved Organic Nitrogen Compounds in Municipal	
Start-up and Maintenance Method for Short-Cut Advanced Nitrogen Removal Process in a Pilot-Scale Reactor at Low Temperature ·	
Start-up and maintenance method for Short-Cut Advanced Nitrogen Removal Process in a Pilot-Scale Reactor at Low Temperature " Study on the Start-Up of Anaerobic Ammonium Oxidation Process in Biological Activated Carbon Reactor "	
Excretion of Manure-Borne Steroid Hormones and Their Potential Risk in the Three Northeast Provinces of China	
Excretion of Manure-Borne Steroid Hormones and Their Potential Risk in the Three Northeast Provinces of China  Spatial Distribution and Composition of Perfluorinated Compounds in Soils Around the Huaihe River	
Fluorine Speciation and Its Distribution Characteristics in Selected Agricultural Soils of North China Plain	
Effects of Long-Term Manure and Crop Residues Incorporation on Yield and Phosphorus Saturation in a Paddy Soil  Influence of Organochlorine Pesticides in Wastewater on the Soil Along the Channel	YAN Xiao, WANG De-jian, ZHANG Gang, et al. (3205)
Elution of Endosulfan from Contaminated Soil by Surfactants and Their Combination X	
Effects of Different Aspects on Soil Microbial Biomass and Dissolved Organic Carbon of the Loess Hilly Area	
Effects of Nitrogen Addition on Red Soil Microbes in the Cinnamomum camphora Plantation	
Concentration, Profile Distribution and Source Identification of PCDD/Fs in Environmental Medium Around a HSWI	
Assessment of Bioaccessibility of PAHs in Microbial Degradation Process Using Solid Phase Micro Extraction and Solid Phase Extra	chon
Biodegradation of Tetrahydrofuran by Combined Immobilized of <i>Pseudomonas oleovorans</i> DT4	
Analysis on Microbial Community in Biofilm Coating onto Solid Carbon Source Using the PCR-DGGE Technique	
Effect of Temperature on Activity of Acidithiobacillus ferrooxidan and Formation of Biogenic Secondary Iron Minerals	9 1
Differences of Selenium Uptake Pattern of Pakchoi and the Possible Mechanism When Amended with Selenate and Selenite	
Effect of Pretreatment on Storage and Biogas Production of Baling Wheat Straw	
Toxicity of Nitrate-N to Freshwater Aquatic Life and Its Water Quality Criteria	
Analysis Performance of Biological Toxicity Testing MTOXPlate Using Microplate	
Study of Combined Effects of DES and EV on the Proliferation of MCF-7 Cells by Two Experimental Designs	
Status and Influencing Factors of Polychlorinated Biphenyls (PCBs) Pollution in the Coastal Areas in China	
Pharmaceuticals and Personal Care Products(PPCPs) in the Effluent of Sewage Treatment Plants	
Research Progress on Biochar Carbon Sequestration Technology	
Countermeasures for Strict Water Quality Management of Drinking Water Sources; Some Thoughts and Suggestions on Implementing	

### 《环境科学》第6届编辑委员会

主 编:欧阳自远

副主编:赵景柱 郝吉明 田 刚

编 委:(按姓氏笔画排序)

万国江 王华聪 王凯军 王绪绪 田 刚 田 静 史培军

朱永官 刘志培 汤鸿霄 陈吉宁 孟 伟 周宗灿 林金明

欧阳自远 赵景柱 姜 林 郝郑平 郝吉明 聂永丰 黄 霞

黄耀 鲍强潘纲潘涛魏复盛

## 环维种草

(HUANJING KEXUE)

(月刊 1976年8月创刊) 2013年8月15日 34卷 第8期

#### ENVIRONMENTAL SCIENCE

(Monthly Started in 1976)

Vol. 34 No. 8 Aug. 15, 2013

主	管	中国科学院	Superintended	by	Chinese Academy of Sciences
主	办	中国科学院生态环境研究中心	Sponsored	by	Research Center for Eco-Environmental Sciences, Chinese
协	办	(以参加先后为序)			Academy of Sciences
		北京市环境保护科学研究院	Co-Sponsored	by	Beijing Municipal Research Institute of Environmental
		清华大学环境学院			Protection
主	编	欧阳自远			School of Environment, Tsinghua University
	辑	《环境科学》编辑委员会	Editor-in -Chief		OUYANG Zi-yuan
>m =	14	北京市 2871 信箱(海淀区双清路	Edited	by	The Editorial Board of Environmental Science (HUANJING
		18号,邮政编码:100085)			KEXUE)
		电话:010-62941102,010-62849343			P. O. Box 2871, Beijing 100085, China
		传真:010-62849343			Tel:010-62941102,010-62849343; Fax:010-62849343
		E-mail; hjkx@ rcees. ac. cn			E-mail; hjkx@ rcees. ac. cn
		http://www.hjkx.ac.cn			http://www. hjkx. ac. en
出	版	4 望出版社	Published	by	Science Press
۰,	<b>*</b> ~	北京东黄城根北街 16 号			16 Donghuangchenggen North Street,
		邮政编码:100717			Beijing 100717, China
印刷装计	订	北京北林印刷厂	Printed	by	Beijing Bei Lin Printing House
发	行	<b>斜学出版社</b>	Distributed	by	Science Press
		电话:010-64017032			Tel:010-64017032
		E-mail:journal@mail.sciencep.com			E-mail; journal@ mail. sciencep. com
订购	处	全国各地邮电局	Domestic		All Local Post Offices in China
国外总发征	行	中国国际图书贸易总公司	Foreign		China International Book Trading Corporation (Guoji
		(北京 399 信箱)			Shudian), P. O. Box 399, Beijing 100044, China

中国标准刊号: ISSN 0250-3301 CN 11-1895/X

国内邮发代号: 2-821

国内定价:90.00元

国外发行代号: M 205

国内外公开发行